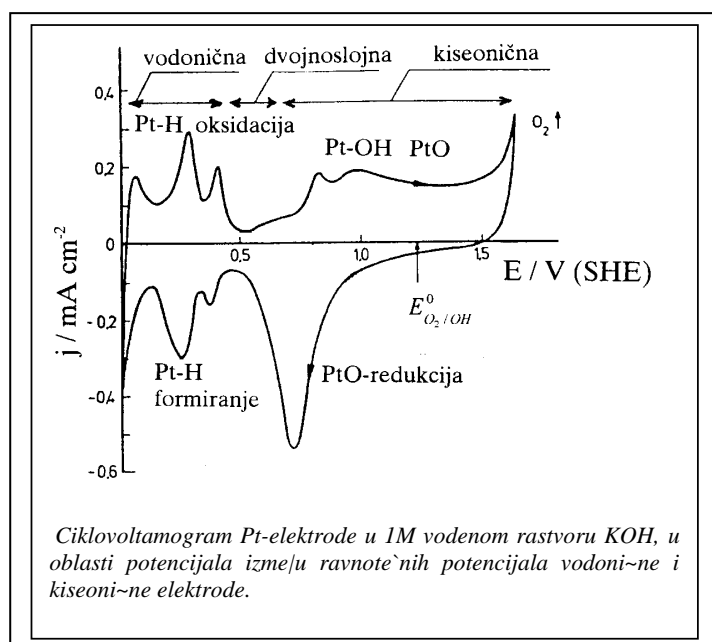
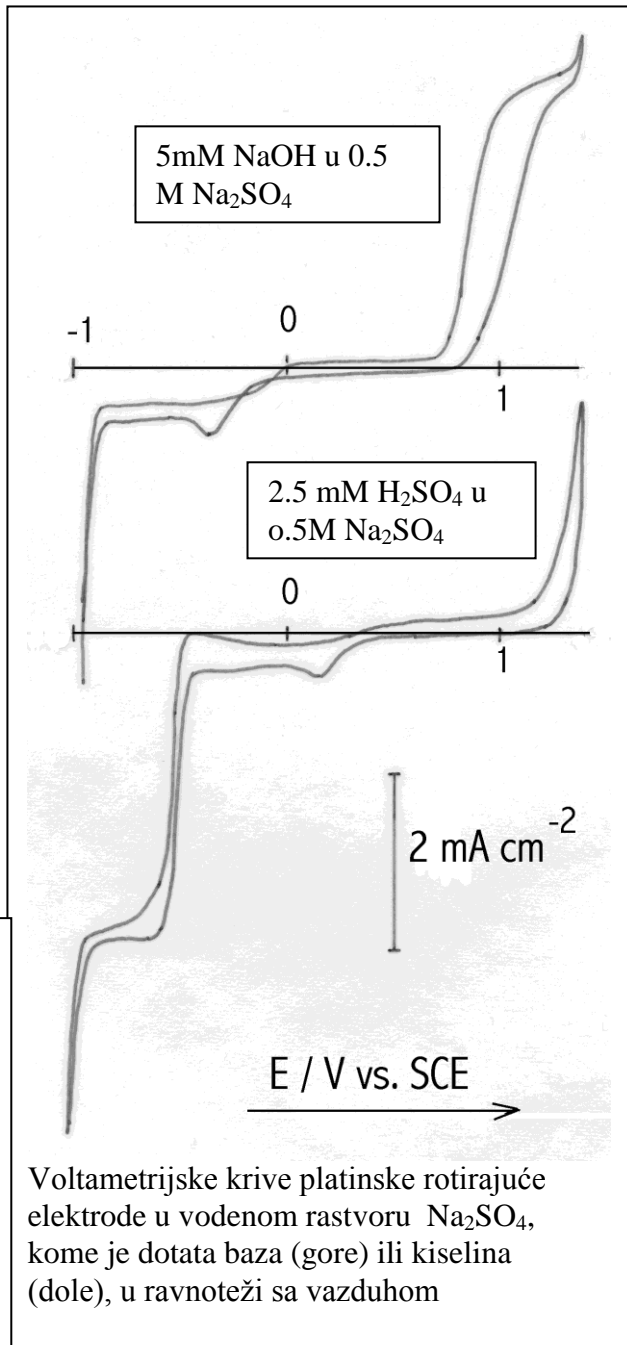
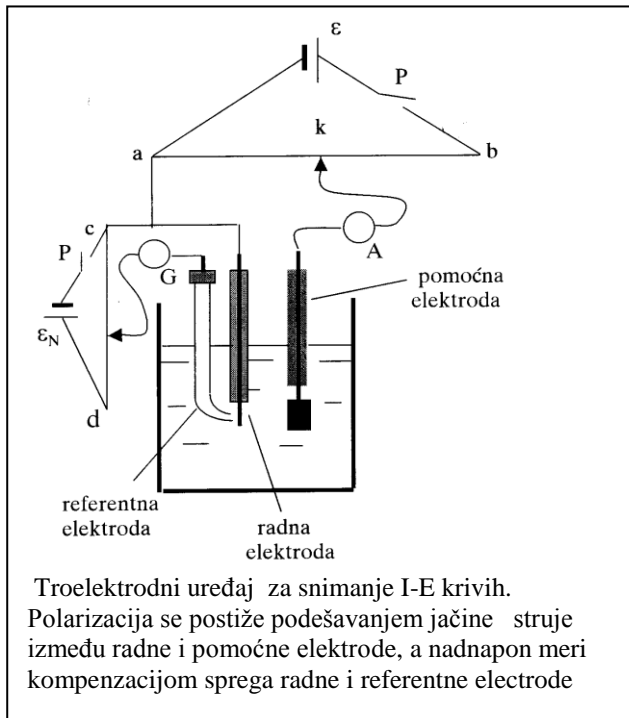


# Kombinovane metode u elektrohemijskim istraživanjima

## Elektrohemijska čelija, voltamogrami faradejskih i adsorpcionih procesa:



Ciklovoltamogram Pt-elektrode u 1M vodenom rastvoru KOH, u oblasti potencijala između ravnotežnih potencijala vodonične i kiseonične elektrode.

Voltametrijske krive platske rotirajuće elektrode u vodenom rastvoru  $\text{Na}_2\text{SO}_4$ , kome je dotata baza (gore) ili kiselina (dole), u ravnoteži sa vazduhom

# Kvarcna mikrovaga (QCM-Quartz Crystal Microbalance)

## Uvod

Kvarcna mikrovaga je uredjaj za merenje vrlo malih promena mase, na bazi promene rezonantne frekvencije kvarcnog kristala do koje dolazi ako se masa kristala menja deponovanjem materijala na njegovim površinama. Njena osetljivost je oko 100 puta veća od elektronske mikrovage (u TGA) (koja je reda 0.001 mg). Stoga je QCM u stanju da meri promene mase reda mase dela atomskog monosloja. Pošto srazmernost rezonantne frekvencije i deponovane mase važi i kada je kristal uronjen u tečnost, to daje mogućnost primene u elektrohemiji za in-situ kontrolu debljine filma u raznim vidovima elektrohemijske depozicije i rastvaranja, a osim toga i u *biohemiji i biotehnologiji*, proizvodnji i istraživanju lekova, *i osobina lubrikanata i petroleuma itd.*

## Teorija QCM

Osnova rada QCM potiče od piezoelektričnog efekta, kod koga električno polje indukuje mehaničku deformaciju. Jacques i Pierre Curie su otkrili piezoelektrike 1880. Pritisak na kvarc koji kristališe u asimetričnoj prostornoj grupi daje pad potencijala proporcionalan pritisku. Pritisak

pomera atome i izaziva dipolni moment, što prouzrokuje naelektrisanje površina kristala.

Obratno, napon kroz kristal izaziva mehaničku deformaciju. Ovu pojavu ilustruje slika 1. Električno polje indukuje preorientaciju dipola što se odražava kao naprezanje rešetke i deformacija smicanjem. Smer smicanja zavisi od smera polja, a veličina od intenziteta polja.

Kvarc je nastabilnija forma  $\text{SiO}_2$ . Za primenu u mikrovagi se primenjuje alfa-kvarc zbog najboljih mehaničkih i piezoelektričnih osobina. Ugao presecanja kristala određuje način oscilovanja. Takozvani AT presek koji se najčešće primenjuje za QCM je pod uglom  $35^{\circ}10'$  u odnosu na optičku osu, Slika 2, i ovaj presek obezbeđuje oscilaciju debljine kristala.

Za potrebe QCM koristi se tanak isečak alfa-kvarca u obliku diska, izmedju dve metalne elektrode koje se nanose vakumskim naparavanjem na obe strane isečka, obično od zlata, zbog toga što se zlato relativno lako nanosi vakumskin naparavanjem. Međutim, Cu, Ni, Pt i drugi metali mogu takođe da se koriste.

Kad se na elektrode dovodi naizmenični napon to izaziva vibraciju (oscilovanje) kvarcnog kristala. Rezultat vibracionog kretanja je transverzalni akustični talas kroz kristal koji se reflektuje o metalne površine. Stojeći talas se formira ako je talasna dužina zvučnog talasa dvostruka debljina kristala i elektroda. Stoga, rezonantna frekvencija je u sledećoj vezi sa debljinom kristala :

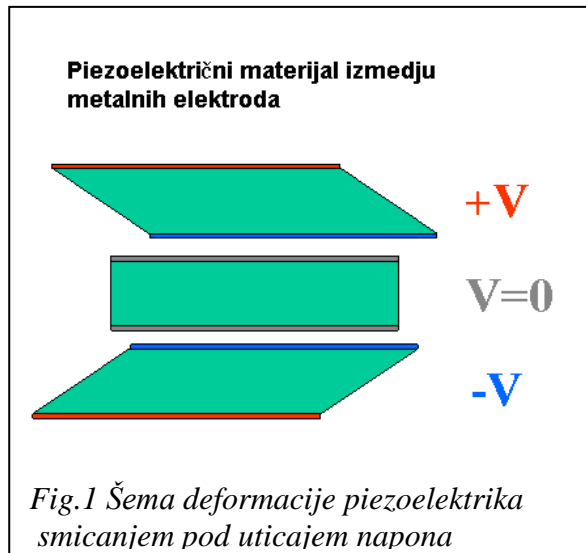
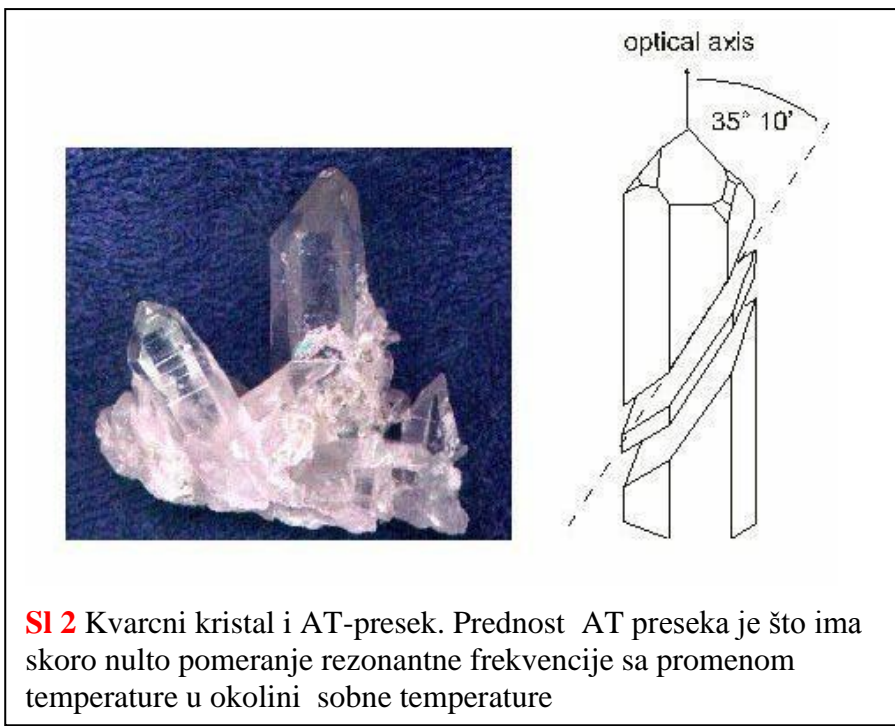


Fig.1 Šema deformacije piezoelektrika smicanjem pod uticajem napona

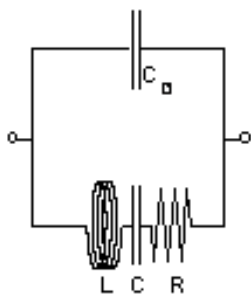
$$f_0 = \frac{v_q}{2l_q}$$



**Sl. 2** Kvarcni kristal i AT-presek. Prednost AT preseka je što ima skoro nulto pomeranje rezonantne frekvencije sa promenom temperature u okolini sobne temperature

gde je  $v_q$  brzina zvučnog talasa u AT isečku kvarca ( $3.34 \times 10^4$  m/sec),  $f_0$  je rezonantna frekvencija pre promene mase,  $l_q$  je debljina kvarcnog diska. Ova jednačina podrazumeva da je brzina zvuka u kvarcu i metalu ista, a debljina elektroda mala u poređenju sa debljinom kvarca. Tipična radna frekvencija QCM je u rangu 5 do 10 MHz. Kvarcni rezonator se može predstaviti rezonantnim ekvivalentnim kolom. Kolo ima dve grane. Grana koja sadrži L, R i C, je grana koja sadrži kvarcni disk i

koju modifikuje masa nanesena na elektrodu i viskoznost sredine. Paralelna grana sa samo jednim kapacitivnim elementom Cs je šantirajući kapacitet elektroda i kablova uređaja. Pri rezonansu je impedansa kristala minimalna, odnosno, njena recipročna vrednost-admitansa ( $Y = 1/Z$ ), je maksimalna. Admitansa je srazmerna struji pri zadatom radnom naponu. Na bilo kojoj frekvenciji, admitansa kristala je kompleksna veličina koja se izražava intenzitetom i faznim uglom .



**Sl. 3.** Pojednostavljeni ekvivalentno kolo piezoelektričnog rezonatora

## Osnovne zavisnosti

Fundamentalna frekvencija QCM opada sa porastom mase na elektrodamama, porastom viskoznosti tečnosti, i porastom hravosti elektrodnih površina.

### Veza promene frekvencije ( $\Delta f$ ) i mase deponovane na površini kristala.

Promena mase,  $\Delta m$ , prouzrokovana adsorpcijom ili elektrohemijskim deponovanjem na jednoj strani QCM je u vezi sa promenom frekvencije  $\Delta f_m$ , po jednačini (Sauerbrey, 1956)

$$\Delta f_m = -C_m \Delta m \quad (2)$$

gde je  $C_m$  konstanta proporcionalna kvadratu fundamentalne frekvencije,  $f_0$ :

$$C_m = C_m^0 f_0^2 \quad (3)$$

Konstanta ( $C_m^0$ ) odredjena je isključivo fizičkim osobinama kvarca; za AT-presek

$$C_m^0 = 2.257 \times 10^{-6} \frac{\text{cm}^2}{\text{gm} \times \text{Hz}} \quad C_m = 0.0812 \frac{\text{Hz}}{\text{ng/cm}^2}$$

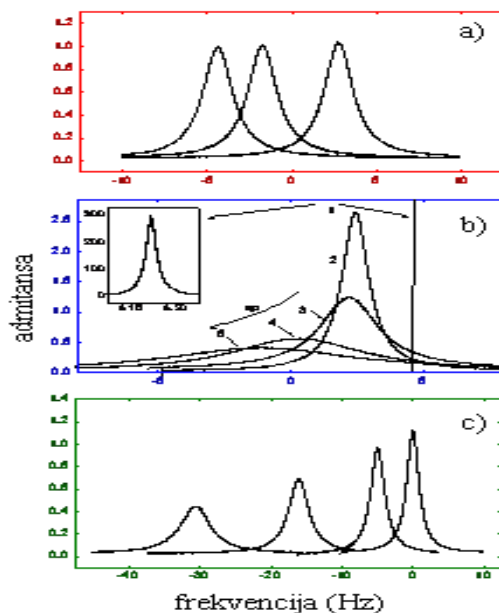
Ako je za dati kristal QCM  $f_0 = 6 \text{ MHz}$ , tada je

$\Delta m$  se računa po jedinici površine, i obično se izražava u jedinicama  $\text{ng/cm}^2$ .

Slika a pokazuje slučaj depozicije metala QCM funkcioniše kao vaga. Rezonansna frekvencija opada sa rastom mase, ali oblik spektra (admitansa u f/ji frekvencije) ostaje stalan.

Slika b pokazuje efekat viskoznosti na spekter admitanse. Ovde rezonansna frekvencija opet opada sa rastom viskoznosti, ali oblik spektra se dramatično menja.

Slika C pokazuje promenu odgovora QCM sa porastom hravosti površine koja je u kontaktu sa tečnošću (vodom).



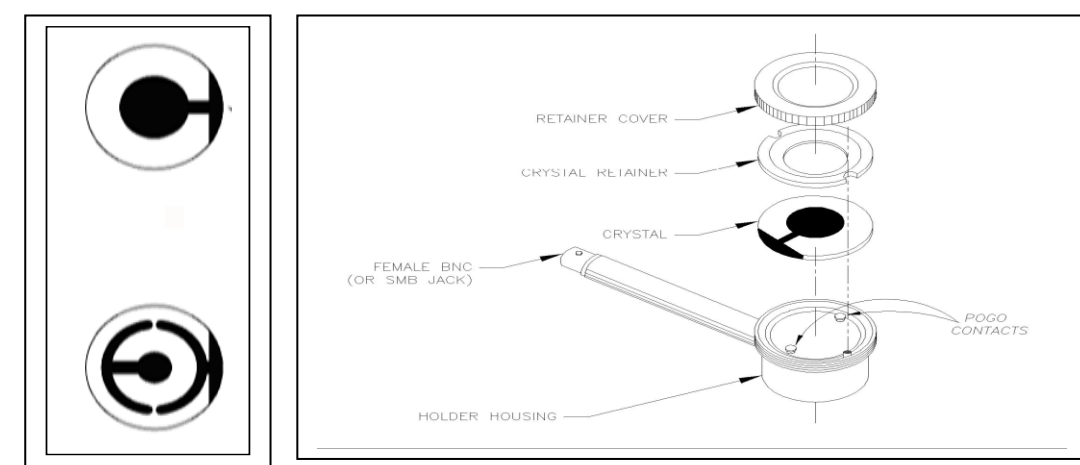
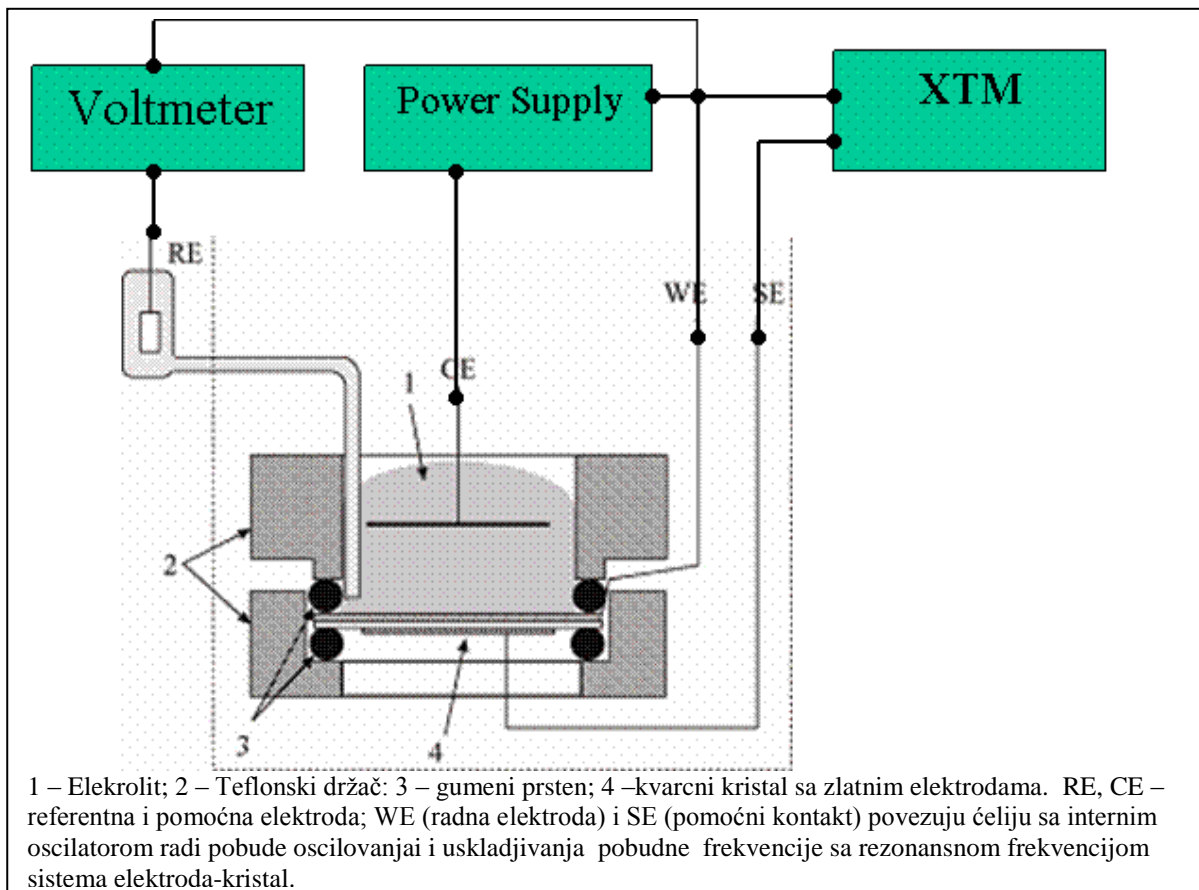
Promena rezonantne frekvencije zbog uticaja viskoznosti sredine data je jednačinom

$$\Delta f_\eta = -C_\eta (\eta \rho)^{1/2} = -\frac{C_m}{2\sqrt{\pi f}} (\eta \rho)^{1/2}, \quad (1),$$

gde su  $\eta$  i  $\rho$  viskoznost i gustina tečnosti. Ova jednostavna jednačina važi samo ako je površina kristala u kontaktu sa tečnošću idealno glatka. Relne površine nisu idealno glatke. Stoga reakcija

QCM zavisi od morfologije površine pa za potrebe viskozimetrije uredjaj QCM treba kalibrisati (odrediti konstantu  $C_m$ ) koristeći tečnost poznate viskoznosti i gustine ( $\eta$  i  $\rho$ ).

## Šema QCM uredjaja



Držač kvarenog diska sa naparenim zlatnim elektrodoma, levo: gornja i donja strana , desno: nosač kvarenog diska i način montiranja diska tako da kontakti u nosaču povezuju zlatni depozit sa

uredjajem za polarizaciju jednosmernom strujom gornjeg zlatnog diska i uredjajem za pobudjivanje oscilovanja kvarcnog diska visokofrekventnom naizmeničnom strujom

## Funkcionisanje QCM

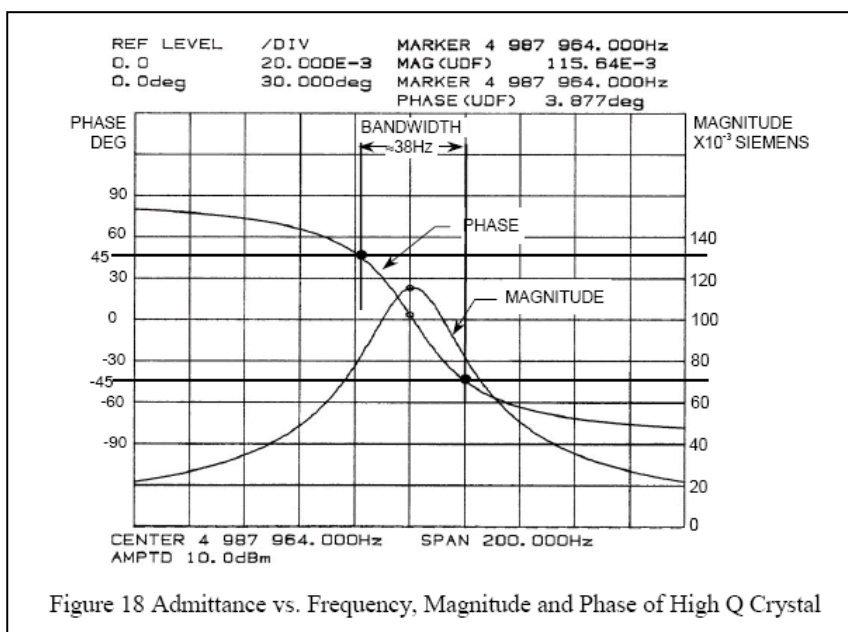


Figure 18 Admittance vs. Frequency, Magnitude and Phase of High Q Crystal

Kvarcna mikrovaga sadrži interni oscilator VCO - Voltage Controlled Oscillator koji naizmeničnim naponom visoke frekvencije pokreće oscilovanje kristala. Pri tome se fazno osetljivim detektorom meri struja kroz kristal (srazmerna admitansi) i fazna razlika izmedju struje i napona. Momenat kad se fazna razlika struje i napona kroz kristal svede na nulu predstavlja rezonansne uslove za kristal.

Jačina struje u tom momentu budući direktno srazmerna admitansi je maksimalna, i može da se očita na displeju mikrovage. Dok je **frekvencija pobudnog oscilatora (VCO) niža od rezonantne, struja kroz kristal prednjači u odnosu na napon**, i ova **pozitivna fazna razlika** može da dostigne i 90 stepeni ako razlika između radne i rezonantne frekvencije nastavi da raste. Kad je **frekvencija pobudnog oscilatora veća od rezonantne, struja kroz kristal kasni u fazi za naponom** i ova **negativna fazna razlika** može da dostigne minus 90 stepeni. Kad se frekvencija izjednači sa rezonantnom, fazna razlika prolazi kroz nulu. Fazni ugao je 45 stepeni kad je frekvencija VCO polovina rezonantne frekvencije.

Dok je uredjaj u radnom stanju, frekvencija pobudnog oscilatora se automatski izjednačava sa rezonantnom frekvencijom kristala. Način na koji se to postiže je sledeći:

Fazna razlika između struje i napona kroz kristal se kontinualno prati fazno osetljivim detektorom. Ako se zbog stalne promene mase elektrode (na primer zbog položenja depozita tokom snimanja struja-potencijal krive) rezonantna frekvencija kristala, po jednačini 2, otklanja naniže, pojavljuje se negativna fazna razlika između napona i struje (struja kasni za naponom), proizvodeći signal na izlazu faznog detektora. Izlaz faznog detektora napaja integrator i pobudjuje signal na izlazu integratora. Negativna fazna razlika prouzrokuje pad napona integratora. (Pad mase elektrode prouzrokuje pozitivnu faznu razliku koja prouzrokuje rast izlaznog napona integratora). Izlaz integratora je povezan sa VCO, čija frekvencija se menja na taj način da se fazna razlika struje i napona kroz kristal poništi: pozitivan signal, prouzrokovani zaostajanjem pobudne frekvencije VCO za rezonantnom, povećava pobudnu frekvenciju, a negativan je

smanjuje, održavajući tako frekvenciju VCO automatski i stalno održava jednakom rezonantnoj frekvenciji kristala. Sa nultom faznom razlikom izlazni signal integratora je konstantan Kad se frekvencija VCO izjednači sa rezonantnom frekvencijom kristala, struja kroz kristal dostiže maksimum i preko pojačavača se šalje na displej i na kompjuter.

### **Kalibracija**

Kvantitativna interpretacija podataka EQCM se bazira na kombinaciji Sauerbrey-eve jednačine i Faradejevog zakona , čime se promena frekvencije korelira sa brojem kulona proteklih kroz elektrodu. Količina nanelektrisanja je merilo broja elektrona koji prođu kroz površinu elektrode. Pod uslovom da je kod elektrohemijске depozicije iskorišćenje struje 100%, tako da svaki elektron izdvoji jedan atom metala, imajući u vidu da je, po Faradejevom zakonu, izdvojena masa metala po jedinici površine:  $m = MQ/nFA$ , a po Sauerbray-evoj jednačini  $\Delta f_m = -C_m \Delta m$  , sledi da je zavisnost izmedju Q i Δf linearна:

$$\Delta f = -C_m \frac{MQ}{nFA} \quad (4)$$

$\Delta f$ = promena frekvencije u Hz,

$M$ = molarna masa deponovene vrste, gram/mol,

$C_m$ = Sauerbrey-jeva konstanta za dati kristal

$Q$ = ukupno nanelektrisanje u kulonima ,

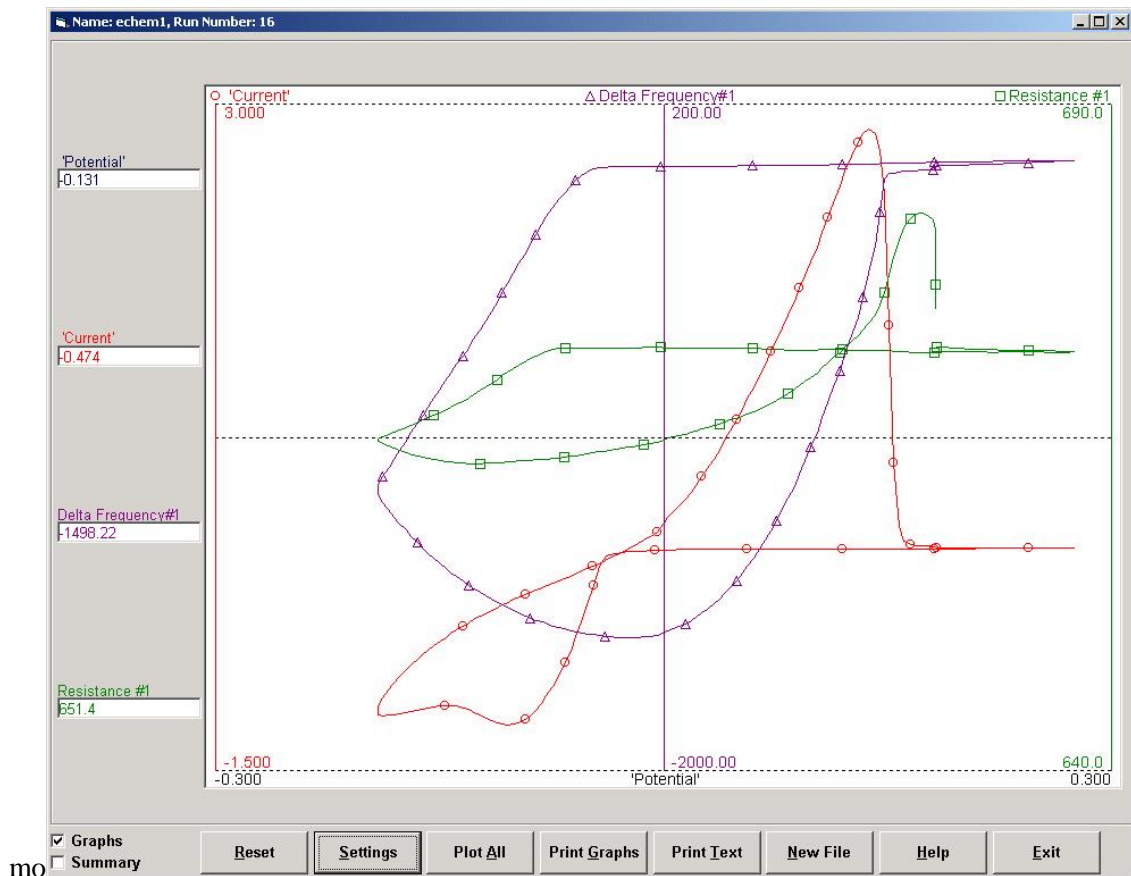
$n$ = broj elektrona u elementarnom aktu depozicije (na pr.  $n=1$  za Ag ).

$A$ = aktivna površina radne elektrode (u kontaktu sa tečnošću) u  $\text{cm}^2$ ,

$F$ = Faradejeva konstanta  $= 9.648 \times 10^4$  kulona/mol,

EQCM se kalibriše da bi se odredila konstanta proporcionalnosti  $C_m$ , Sauerbrey-jeve jednačine za dati kristal i geometriju (efektivnu površinu) elektrode. Kalibracija se radi sa dobro definisanim elektrohemiskim reakcijama sa iskorišćenjem struje 100 %, na primer , elektrodepozicijom srebra, bakra ili olova na zlatnoj ili platinскоj elektrodi.<sup>46 47 48</sup>. odredjivanjem promene frekvencije u funkciji protekle količine elektriciteta. Iz nagiba dobijene prave prema jednačini (4) izračunava se konstanta  $C_m$ , koja se ubuduće može koristiti pri radu sa ovim elektrodnim sistemom u rastvorima bliske viskoznosti. (Da bi izbegli ovaj korak, u mnogim publikacijama, pored voltamograma posmatranog redoks procesa, daju se samo relativne promene frekvencije).

Sa poznatom konstantom  $C_m$ , može se iz nagiba  $\Delta f$  prema  $Q$  odrediti masa deponovane vrste po elektronu. Ovo se često koristi u cilju verifikacije mehanizma redoks procesa.. Primer dijagrama koji može poslužiti za kalibraciju celije dat je na sledećoj slici.



### Kontrola elektrohemijiskog deponovanja-rastvaranja bakra

Potencijal radne elektrode u odnosu na referentnu elektrodu, i struja kao funkcija potencijala se podešavaju i mere potencijostatom. Paralelno se meri promena rezonantne

frekvencije kristala koji nosi radnu elektrodu. Gornja slika prikazuje paralelnan ciklovoltamogram i promenu frekvencije pri katodnoj polarizaciji elektrode kvarcne mikrovage u rastvoru koji sadrži 0.1 M CuSO<sub>4</sub>, u 0.5 M H<sub>2</sub>SO<sub>4</sub> u vodi. Pri katodnoj plarizaciji u odnosu na ravnotežni potencijal bakarne elektrode bakar se izdvaja, a pri anodnoj rastvara. Minimum Δf (1490.22 Hz) pokazuje potencijal na kome katodno taloženje prelazi u anodno rastvaranje bakra.

Anodne reakcije mogu biti izdvajanje kiseonika i anodno rastvaranje zlata. Nestanak zlatne elektrode uništava

rezonator. Izdvajanje mehurića kiseonika proizvodi mehuriće i otežava merenje. Mehurići se mogu pojaviti i zbog izdvajanja vodonika , pri katodnim polarizacijama manjim od - 0.34 V.

Da bi se izbegli ovi problemi, programski se definišu granične vrednosti potencijala Ako potencijal predje ove vrednosti struja se automatski isključuje i pali se crvena signalna lampica da su uslovi prekoračeni

#### polureakcija

Zn <sup>+2</sup> + 2e <sup>-</sup> → Zn	- 1.10
Fe <sup>+2</sup> + 2e <sup>-</sup> → Fe	- 0.78
Pb <sup>+2</sup> + 2e <sup>-</sup> → Pb	- 0.47
2H <sup>+</sup> + 2e <sup>-</sup> → H <sub>2</sub>	- 0.34
Cu <sup>+2</sup> + 2e <sup>-</sup> → Cu	0.00
Cu <sup>+</sup> + e <sup>-</sup> → Cu	0.18
Fe <sup>+3</sup> + e <sup>-</sup> → Fe <sup>+2</sup>	0.43
Ag <sup>+</sup> + e <sup>-</sup> → Ag	0.46
O <sub>2</sub> + 4H <sup>+2</sup> + 4e <sup>-</sup> → 2H <sub>2</sub> O	0.89
Au <sup>+3</sup> + 3e <sup>-</sup> → Au	1.16

#### potencijal

## Literatura

Osnovni principi rada I primene QCM na electrohemijske procese su opširno opisani u literaturi<sup>(29 30)</sup>

<sup>29</sup> Mark Deakin and Daniel Buttry, "Electrochemical Applications of the Quartz Crystal Microbalance", *Anal Chem*, 61 (20) (1989) 183.

<sup>30</sup> Buttry, Daniel and Ward, Michael, "Measurement of Interfacial Processes at electrode surfaces with the EQCM", *Chem. Rev.* 92 (6) (1992) 1355.

U većini elektrohemijskih eksperimenata promena mase se dešava kada se materijal taloži ili rastvara sa radne elektrode. Od interesa je da se ove promene prate paralelno sa elektrohemijskim snimanjem voltametrijske krive. Kao prateća mikrovaga QCM je korišćena u mnogim ispitivanjima : podpotencijalnoj depoziciji metala (31 32 33 34) koroziji( 35,45) formiranju oksida (36) ispitivanju rastvaranja ( 37 38 39 40) adsorpciono/desorpcionim procesima površinski aktivnih supstanci( 41 42 43 ) I promenama u elektroprovodnim polimernim filmovima tokom redoks procesa ( 44)

<sup>31</sup> O. Melroy, K. Kanazawa, J.G. Gordon II and D. Buttry, "Direct Determination of the Mass of an Underpotentially Deposited Monolayer of Lead on Gold", *Langmuir* 2 (1986) 697.

<sup>32</sup> Mark R. Deakin and Owen Melroy, "Underpotential Metal Deposition on Au, monitored in situ with a Quartz Microbalance", *J. Electroanal. Chem.* 239 (1988) 321.

<sup>33</sup> Masahiro Seo, Masaki Aomi and Kengo Yoshida, "A combined Piezoelectric and EQCM study of Underpotential Deposition of Silver on Gold Electrodes", *Electrochimica Acta*, 39(8/9) (1994) 1039.

<sup>34</sup> Youngran Lim and Euijin Hwang, "An Electrochemical QCM study of Oxygen reduction during the Underpotential Deposition of Lead on a Gold Electrode", Bull. Korean Chem Soc. 17 (12) (1996) 1091.

<sup>34</sup> Storri, S., Santoni, T., Mascini, M., "A piezoelectric biosensor for DNA hybridization detection", Anal. Lett. 31 (11) (1998) 1795.

<sup>35</sup> Jope, Dirk, Sell, Joachim, Pickering, Howard W., Weil, Konrad G., "Application of a Quartz Crystal Microbalance to the Study of Copper Corrosion in Acid Solution Inhibited by Triazole-Iodide Protective Films", J. Electrochem. Soc., (142) 34881, 2170-2172.

<sup>36</sup> Jiang, Xiang Chun, Seo, Masahiro, Sato, Norio, "Piezoelectric Detection of Oxide Formation and Reduction on Platinum Electrodes", J. Electrochem. Soc., (138) 33239, 137-139.

<sup>37</sup> Benje, Michael, Eierman, Matthias, Pittermann, Udo, Weil, Konrad G., "An Improved Quartz Crystal Microbalance. Applications to the Electrococrystallization and -dissolution of Nickel", Ber. Bunsen-Ges. Phys. Chem., 90 (1986) 435-439.

<sup>38</sup> Tudos, Anna J., Johnson, Dennis C., "Dissolution of Gold Electrodes in Alkaline Media Containing Cysteine", Anal. Chem., 67 (1995) 557-560.

<sup>39</sup> Schumacher, R., Muller, A., Stockel, W., "An In Situ Study on the Mechanism of the Electrochemical Dissolution of Copper in Oxygenated Sulphuric Acid - An Application of the Quartz Microbalance", J. Electroanal. Chem. Interfacial Electrochem., 219 (1987) 311-317.

<sup>40</sup> Ostrom, Gregory S., Buttry, Daniel A., "Quartz crystal microbalance studies of deposition and dissolution mechanisms of electrochromic films of diheptylviologen bromide", J. Electroanal. Chem. Interfacial Electrochem., 256 (1988) 411-431.

<sup>41</sup> Auge, Jorg, Hauptmann, Peter, Eichelbaum, Frank and Rosler, Stephen, "QCM sensor in liquids", Sensors and Actuators B, 18-19 (1994) 518.

<sup>42</sup> Mo, Yibo, Hwang, Euijin, Scherson, Daniel A., "Simultaneous Normalized Optical Reflectivity and Microgravimetric Measurements at Electrode/Electrolyte Interfaces: The Adsorption of Bromide on Gold in Aqueous Media", 67 (1995) 2415-2418.

<sup>43</sup> Schneider, Thomas W., Buttry, Daniel A., "Electrochemical Quartz Crystal Microbalance Studies of Adsorption and Desorption of Self-Assembled Monolayers of Alkyl Thiols on Gold", J. Am. Chem. Soc., 115 (1993) 12391-12397.

<sup>44</sup> Bott, Adrian W., "Characterization of Films Immobilized on an Electrode Surface Using the EQCM", Current Separations 18:3 (1999) 79.

45. M. Herranen and J.-O. Carlsson, **An electrochemical quartz crystal microbalance (EQCM) and in situ SFM study of Ti in sulphuric acid**, Corrosion Science 43 (2001) 365-379.